

Computational Physics, Aufgabenblatt 2

Kevin Sedlacek, Mona Kalthoff

4. Mai 2017

1 Wettervorhersage

Eigentlich sollten die Werte bei denen das Produkt der Anzahl der Integrationsintervalle mit der Schrittweite ($N \cdot h$) gleich ist, also jeweils die Diagonalwerte für x und y in Tabelle 1 übereinstimmen. Da die Werte jedoch sehr stark von einander abweichen kann darauf geschlossen werden, dass es sich um ein chaotisches System handelt.

Tabelle 1: Anzahl der Integrationsintervalle N , Schrittweiten h und zugehöriger Wert der Koordinaten x und y .

N	10	10	100	100	1000	1000
h	x	y	x	y	x	y
0.05	-21.85359018	-18.06344595	-nan	-nan	-nan	-nan
0.005	-0.295558256	13.4307003	1.802282765	-0.4078430329	-5.204094253	0.7403984965
0.0005	-8.780764138	14.85787205	-0.4967323392	13.44523927	2.482516845	0.3829519681

Analytisch lassen sich die Fixpunkte des Systems wie folgt berechnen:

$$\dot{X} = \sigma(-X + Y) \stackrel{!}{=} 0 \quad \rightarrow \quad X = Y \quad (1)$$

$$\dot{Y} = X(-Z + r) - Y \stackrel{X=Y}{=} X(-Z + r - 1) \stackrel{!}{=} 0 \quad \rightarrow \quad \begin{cases} X = Y = 0 \\ Z = (r - 1), X = Y \end{cases} \quad (2)$$

$$\dot{Z} = XY - bZ \stackrel{X=Y}{=} X^2 - bZ \stackrel{!}{=} 0 \quad \rightarrow \quad \begin{cases} X = Y = Z = 0 \\ Z = (r - 1), X^2 = Y^2 = b(r - 1) \end{cases} \quad (3)$$

Die Fixpunkte sind also gegeben durch $X = Y = Z = 0$ und $X = Y = \pm\sqrt{b(r-1)}$. Für $r = 20$ und $r = 28$ bedeutet dies bei $b = \frac{8}{3}$ und $\vec{X} \neq \vec{0}$:

$$\vec{X}_{fix,20} = (\pm 7.11805217, \pm 7.11805217, 19)^T \quad (4)$$

$$\vec{X}_{fix,28} = (\pm 8.48528137, \pm 8.48528137, 27)^T \quad (5)$$

Diese Fixpunkte sind in den Abbildungen 2 und 1 jeweils rot markiert. Außerdem werden in Abbildung 2 die Kurven für einen leicht variierenden Startwert verglichen. Dabei fällt bereits beim Betrachten der Abbildungen auf, dass sich die Kurven trotz der geringen Variation des Startwertes

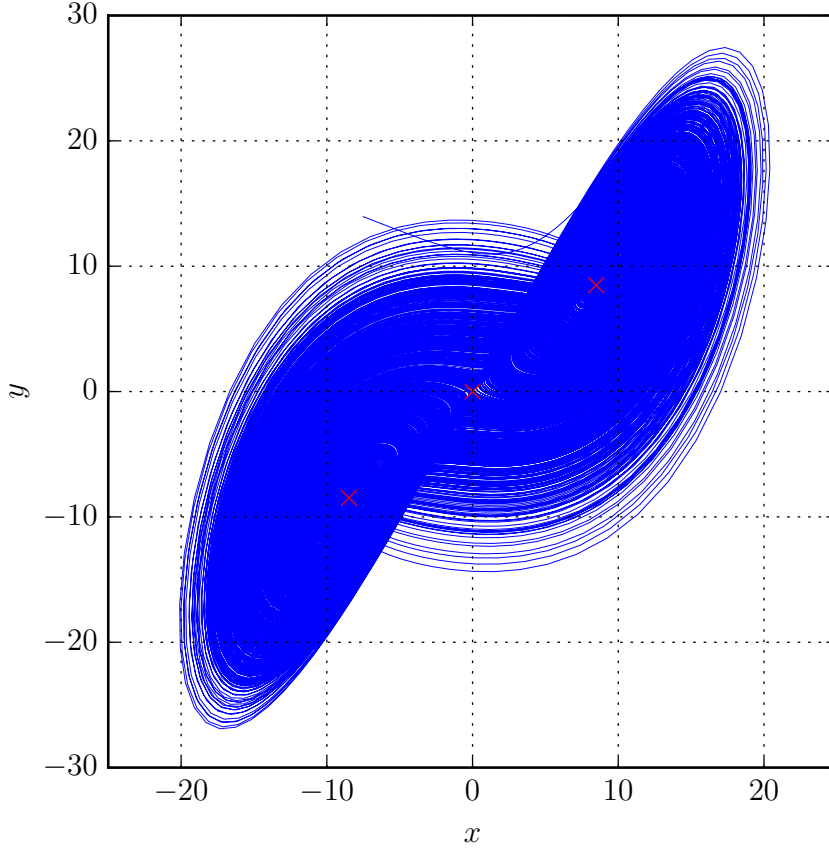


Abbildung 1: Projektion der Zeitentwicklung auf die XY-Ebene mit $r = 20$, $\sigma = 10$ und $b = \frac{8}{3}$

vergleichsweise stark unterscheiden. Wie gravierend dieser Unterschied ist, fällt bei der numerischen Berechnung der Fixpunkte für beide Startwerte auf. Während im ersten Fall der Fixpunkt bei $X, Y < 0$ zuerst erreicht wird, läuft die Funktion für den zweiten Startwert in den Fixpunkt bei $X, Y > 0$. Die numerisch berechneten Fixpunkte bei einer Schrittweite von $h = 0.001$ und $N = 10^5$ sind gegeben durch

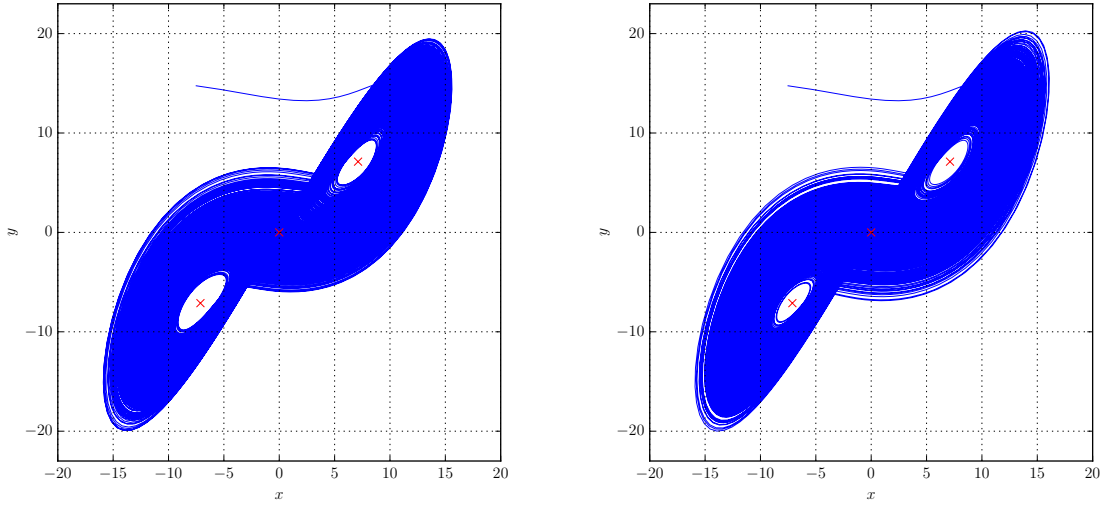
$$\vec{X}_{num,fix,20} = (-7.11813600, -7.11717693, 19.0015297)^T \quad \text{bei} \quad \vec{X}_{start} = (-10, 15, 19)^T \quad (6)$$

$$\vec{X}_{num,fix,20} = (7.11795263, 7.11889380, 18.9984803)^T \quad \text{bei} \quad \vec{X}_{start} = (-10.01, 15, 19)^T \quad (7)$$

Diese Fixpunkte haben in der x - und in der y -Komponente jeweils einen relativen Fehler von

$$\varepsilon_x = 1.17771140 \cdot 10^{-5}, \quad \varepsilon_y = 1.22960131 \cdot 10^{-4} \quad \text{bei} \quad \vec{X}_{start} = (-10, 15, 19)^T \quad (8)$$

$$\varepsilon_x = 1.39833584 \cdot 10^{-5}, \quad \varepsilon_y = 1.18238758 \cdot 10^{-4} \quad \text{bei} \quad \vec{X}_{start} = (-10.01, 15, 19)^T \quad (9)$$


 (a) Startwert $\vec{X} = (-10, 15, 19)^T$

 (b) Startwert $\vec{X} = (-10.01, 15, 19)^T$

 Abbildung 2: Projektion der Zeitentwicklung auf die XY-Ebene mit $r = 20$, $\sigma = 10$ und $b = \frac{8}{3}$

2 Integrale

Das Hauptwertintegral

$$I_1 = \mathcal{P} \int_{-1}^1 \frac{e^t}{t} dt \quad (10)$$

kann in drei Abschnitte aufgeteilt werden:

$$I_1 = \int_{-1}^{\Delta} \frac{e^t}{t} dt + \int_{\Delta}^1 \frac{e^t}{t} dt + \underbrace{\mathcal{P} \int_{-\Delta}^{\Delta} \frac{e^t}{t} dt}_{I_{\Delta}} \quad (11)$$

Dabei wird nur in I_{Δ} über die Singularität integriert, sodass die anderen beiden Integrale numerisch (z.B. mit der Trapezregel) ausgewertet werden können. Das verbleibende Hauptwertintegral kann mit Hilfe folgender Substitution umgeformt werden:

$$u(t) = \frac{t}{\Delta \cdot t} \rightarrow t = \Delta \cdot s(t), \quad dt = \Delta ds \quad (12)$$

$$\mathcal{P} \int_{-\Delta}^{\Delta} \frac{e^t}{t} dt = \mathcal{P} \int_{-1}^1 \frac{e^{\Delta \cdot s(t)}}{\Delta \cdot s(t)} \cdot \Delta ds = \mathcal{P} \int_{-1}^1 \frac{e^{\Delta \cdot s(t)}}{s(t)} ds \quad (13)$$

Da außerdem

$$\mathcal{P} \int_{-1}^1 \frac{1}{x} dx = 0 \rightarrow \mathcal{P} \int_{-1}^1 \frac{e^0}{s} ds = 0 \quad (14)$$

gilt, kann Gleichung (14) von Gleichung (13) abgezogen werden, sodass sich

$$I_{\Delta} = \mathcal{P} \int_{-1}^1 \frac{e^{\Delta \cdot s(t)}}{s(t)} ds = \mathcal{P} \int_{-1}^1 \frac{e^{\Delta \cdot s(t)} - 1}{s(t)} ds \quad (15)$$

ergibt. Nun kann die Exponentialfunktion für kleine x gemäß $e^x \stackrel{x \ll 1}{\approx} 1 + x + \frac{x^2}{2}$ entwickelt werden. Da der Parameter Δ klein gewählt wird ergibt dies

$$I_\Delta = \mathcal{P} \int_{-1}^1 \frac{1 + s(t)\Delta + \frac{s^2(t)}{2} - 1}{s(t)} ds = \mathcal{P} \int_{-1}^1 \left(\Delta + \frac{s(t)}{2} \right) ds \quad (16)$$

Numerisch wird nun die Größe Δ in

$$I_1 = \int_{-1}^\Delta \frac{e^t}{t} dt + \int_\Delta^1 \frac{e^t}{t} dt + \int_{-1}^1 \left(\Delta + \frac{s}{2} \right) ds \quad (17)$$

immer weiter Reduziert, bis die Änderung zum analytischen Wert kleiner als 10^{-5} ist. Dann ergibt sich der Wert des Integrals nach 6 Iterationen zu $I_1 = 2.11451672$.

Das zweite Integral ist gegeben durch

$$I_2 = \int_0^\infty \frac{e^{-t}}{\sqrt{t}} dt, \quad (18)$$

wobei der Integrand bei der unteren Grenze singulär wird. Dies kann gelöst werden, indem das Integral durch die Substitution

$$t = x^2 \quad \rightarrow \quad dt = 2x dx \quad (19)$$

in ein Gausintegral umgeformt wird:

$$I_2 = \int_0^\infty \frac{e^{-x^2}}{x} \cdot 2x dx = \int_0^\infty e^{-x^2} dx. \quad (20)$$

Da der Integrand für große x schnell abfällt kann das Integral numerisch berechnet werden, indem die obere Grenze kontinuierlich vergrößert wird bis der relative Fehler kleiner als 10^{-5} ist. Nach 3 Iterationen ergibt sich $I_2 = 1.77245385$.

Beim dritten Integral haben wir lediglich ausgenutzt, dass es symmetrisch ist. Zwar wird

$$I_3 = \int_{-\infty}^\infty \frac{\sin(t)}{t} dt = 2 \int_0^\infty \frac{\sin(t)}{t} dt \quad (21)$$

bei $t = 0$ singulär, aber es gilt

$$\lim_{t \rightarrow 0} \frac{\sin(t)}{t} = 1 \quad (22)$$

und wenn dies als Exception in die Funktion eingebaut wird kann das Integral numerisch berechnet werden. Dabei ergibt sich nach 25 Iterationen der Wert $I_3 = 3.14157936$. Zur analytischen Berechnung des Integrals kann ausgenutzt werden, dass die Funktion $\frac{e^{-t}}{\sqrt{t}}$ die inverse Fouriertransformierte der Indikatorfunktion von -1 bis 1 ist. Dabei wird folgende Definition der Fouriertransformation verwendet:

$$\mathcal{F}^{-1}[f(\omega)](x) = f(x) = \frac{1}{(2\pi)^d} \int e^{i\omega x} f(\omega) d\omega \quad (23a)$$

$$\mathcal{F}[f(x)](\omega) = f(\omega) = \int e^{-i\omega x} f(x) dx \quad (23b)$$

$$\frac{\sin(t)}{t} = \frac{1}{t} \left(\frac{e^{it} - e^{-it}}{2i} \right) = \frac{1}{2} \left(\frac{e^{it}}{it} - \frac{e^{-it}}{it} \right) = \frac{1}{2} \left[\frac{e^{it\omega}}{it} \right]_{\omega=-1}^{\omega=1} = \frac{1}{2} \int_{-1}^1 e^{it\omega} d\omega \quad (24a)$$

$$= \frac{1}{2} \int_{-\infty}^{\infty} e^{it\omega} \chi_{\{-1,1\}}(\omega) d\omega = \pi \cdot \frac{1}{2\pi} \int_{-\infty}^{\infty} e^{it\omega} \chi_{\{-1,1\}}(\omega) d\omega \quad (24b)$$

$$= \pi \cdot \mathcal{F}^{-1} [\chi_{\{-1,1\}}(\omega)] (t) \quad (24c)$$

$$\int_{-\infty}^{\infty} \frac{\sin(t)}{t} dt = \left[\int_{-\infty}^{\infty} e^{-i\omega t} \frac{\sin(t)}{t} dt \right]_{\omega=0} \quad (25a)$$

$$= \left[\int_{-\infty}^{\infty} e^{-i\omega t} \pi \cdot \mathcal{F}^{-1} [\chi_{\{-1,1\}}(\omega)] (t) dt \right]_{\omega=0} \quad (25b)$$

$$= \pi \cdot \left[\int_{-\infty}^{\infty} e^{-i\omega t} \mathcal{F}^{-1} [\chi_{\{-1,1\}}(\omega)] (t) dt \right]_{\omega=0} \quad (25c)$$

$$= \pi \cdot [\mathcal{F} (\mathcal{F}^{-1} [\chi_{\{-1,1\}}(\omega)] (t)) (\omega)]_{\omega=0} \quad (25d)$$

$$= \pi \cdot [\chi_{\{-1,1\}}(\omega)]_{\omega=0} \quad (25e)$$

$$= \pi \cdot \chi_{\{-1,1\}}(0) \quad (25f)$$

$$= \pi \quad (25g)$$